

Negative Casimir-Entropien in der Geometrie Kugel–Platte

Michael Hartmann

Kolloquium

25. Juni 2014

① Motivation

② Streutheorie

Grundlagen

Symmetrien in der Geometrie Kugel–Platte

Streutheorie in der Geometrie Kugel–Platte

③ Ergebnisse

Proximity Force Approximation

Näherung für große Abstände

Negative Casimir-Entropien

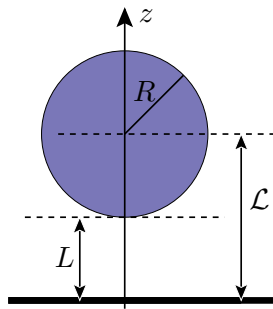
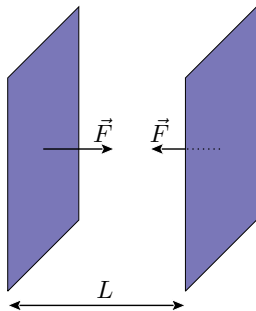
Zusammenfassung

Motivation

- Casimir: anziehende Kraft zwischen perfekt leitenden Metallplatten im Vakuum bei $T = 0$

$$\frac{F}{A} = -\frac{\hbar c \pi^2}{240 L^4}$$

- experimentell relevant: Kugel-Platte Geometrie



Motivation

- Suche nach weiteren Grundkräften
- Gravitation und kosmologische Konstante
- van der Waals Kräfte

- Negative Casimir-Entropien
 - Platte–Platte Geometrie mit Drude Spiegeln
 - Kugel–Platte Geometrie mit perfekten Spiegeln

- Methoden
 - Proximity Force Approximation (PFA)
 - Streutheorie

Streutheorie

- Freie Energie

$$\mathcal{F} = k_{\text{B}}T \sum_{n=0}^{\infty'} \ln \det \mathcal{D}(\omega_n), \quad \omega_n = \frac{2\pi n k_{\text{B}}T}{\hbar}$$

- Streuoperator

$$\mathcal{D} = \mathbb{1} - \mathcal{M}$$

- Round-Trip Operator für Kugel-Platte

$$\mathcal{M} = \mathcal{R}_{\text{S}} \mathcal{T}_{\text{S} \leftarrow \text{P}} \mathcal{R}_{\text{P}} \mathcal{T}_{\text{P} \leftarrow \text{S}}$$

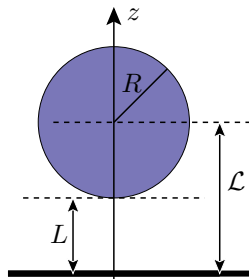
- Entropie

$$S = -\frac{\partial \mathcal{F}}{\partial T}$$

Symmetrien in der Geometrie Kugel–Platte

- Zeitumkehrinvarianz
- Rotationssymmetrie um z -Achse
- Freie Energie

$$\mathcal{F} = k_{\text{B}}T \sum_{n=0}^{\infty'} \sum_{m=0}^{\infty'} \ln \det \left[\mathbb{1} - \mathcal{M}^{(m)}(\omega_n) \right]$$



- Round-Trip Operator

$$\mathcal{M}^{(m)}(\omega) = \begin{pmatrix} \mathcal{M}^{(m)}(E, E) & \mathcal{M}^{(m)}(E, M) \\ \mathcal{M}^{(m)}(M, E) & \mathcal{M}^{(m)}(M, M) \end{pmatrix}$$

Streutheorie in der Geometrie Kugel–Platte

- 1 Reflexionsverhalten der Spiegel
- 2 Lösungen nach Basisfunktionen entwickeln
- 3 Round-Trip Operator in Multipolbasis entwickeln
- 4 Wick-Rotation
- 5 Skalieren

Streutheorie in der Geometrie Kugel–Platte

1 Reflexionsverhalten der Spiegel

- Drude Modell
- Plasma Modell
- perfekte Spiegel

⇒ Fresnel- und Mie-Koeffizienten

2 Lösungen nach Basisfunktionen entwickeln

3 Round-Trip Operator in Multipolbasis entwickeln

4 Wick-Rotation

5 Skalieren

Streutheorie in der Geometrie Kugel–Platte

- 1 Reflexionsverhalten der Spiegel
- 2 **Lösungen nach Basisfunktionen entwickeln**

- Maxwell-Gleichungen äquivalent zu

$$\left(\Delta - \frac{1}{c^2} \frac{\partial^2}{\partial t^2} \right) \mathbf{E} = 0, \quad \left(\Delta - \frac{1}{c^2} \frac{\partial^2}{\partial t^2} \right) \mathbf{B} = 0$$

- Ebene Wellen-Basis $|\mathbf{k}_{xy}, \phi, p\rangle$
 - Multipolbasis $|\ell, m, P\rangle$
 - Matrixelemente für den Basiswechsel $\langle \mathbf{k}_{xy}, \phi, p | \ell, m, P\rangle$
- 3 Round-Trip Operator in Multipolbasis entwickeln
 - 4 Wick-Rotation
 - 5 Skalieren

Streutheorie in der Geometrie Kugel–Platte

- 1 Reflexionsverhalten der Spiegel
- 2 Lösungen nach Basisfunktionen entwickeln
- 3 **Round-Trip Operator in Multipolbasis entwickeln**

$$\mathcal{M}_{\ell_1 \ell_2}^{(m)}(P_1, P_2) = \langle \ell_1, m, P_1 \mid \mathcal{R}_S \mathcal{T}_{S \leftarrow P} \mathcal{R}_P \mathcal{T}_{P \leftarrow S} \mid \ell_2, m, P_2 \rangle$$

- 4 Wick-Rotation
- 5 Skalieren

Streutheorie in der Geometrie Kugel–Platte

- 1 Reflexionsverhalten der Spiegel
- 2 Lösungen nach Basisfunktionen entwickeln
- 3 Round-Trip Operator in Multipolbasis entwickeln
- 4 **Wick-Rotation**
 - Satz von Cauchy
 - imaginäre Frequenzen $\omega \rightarrow i\xi$ mit $\xi \in \mathbb{R}$
 - oszillierende Integranden \rightarrow exponentiell gedämpfte Integranden
- 5 Skalieren

Streutheorie in der Geometrie Kugel-Platte

- 1 Reflexionsverhalten der Spiegel
- 2 Lösungen nach Basisfunktionen entwickeln
- 3 Round-Trip Operator in Multipolbasis entwickeln
- 4 Wick-Rotation
- 5 **Skalieren**

$$\mathcal{F} \rightarrow \frac{\mathcal{L}}{\hbar c} \mathcal{F}, \quad T \rightarrow \frac{2\pi k_B \mathcal{L}}{\hbar c} T$$

$$\Rightarrow \mathcal{F} = \mathcal{F}(T, L/R)$$

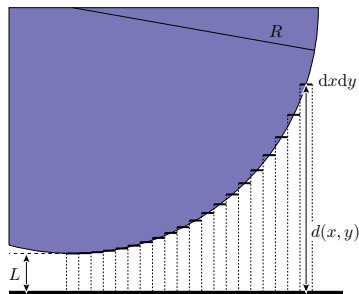
Proximity Force Approximation

- PFA verknüpft beliebige Geometrien mit Platte–Platte Geometrie
- Freie Energie

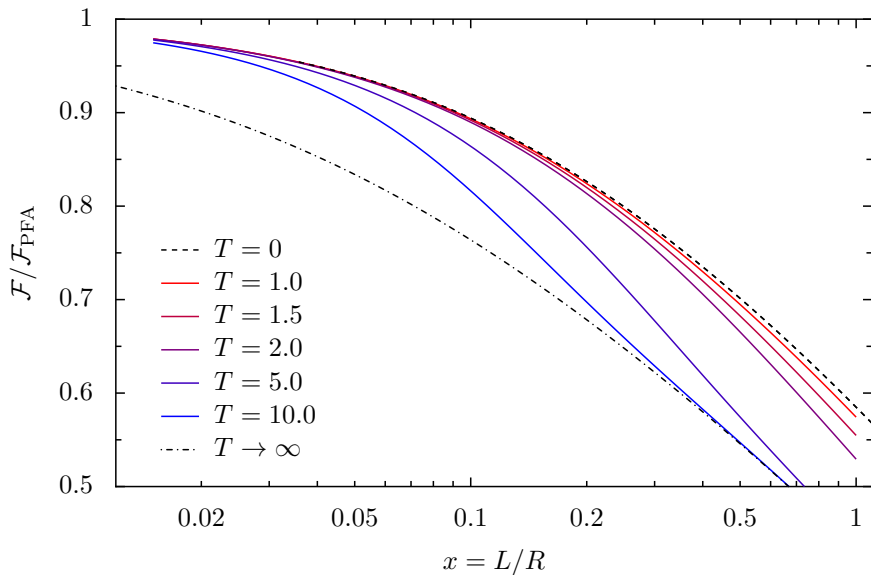
$$\mathcal{F}_{\text{PFA}} = \int_{\Sigma} \frac{\mathcal{F}_{\text{PP}}(d(x, y))}{A} dx dy$$

Näherungen:

- PFA ignoriert Krümmung der Kugel
 - PFA ignoriert Polarisationswechsel
 - Flächenelemente infinitesimal klein
 - Casimir Energie ist nicht-additiv
- ⇒ PFA liefert nicht-negative Entropien



Proximity Force Approximation



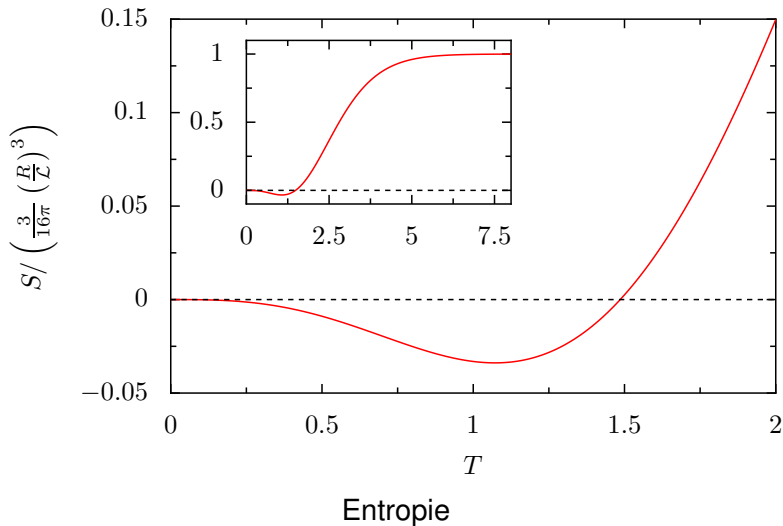
Näherung für große Abstände

- Näherung für $L/R \gg 1$
- großer Abstand \Leftrightarrow kleiner Kugelradius \Leftrightarrow große Krümmung
- Dipolnäherung
- Taylor-Näherungen für Mie-Koeffizienten
- Näherung für Logarithmus der Determinante

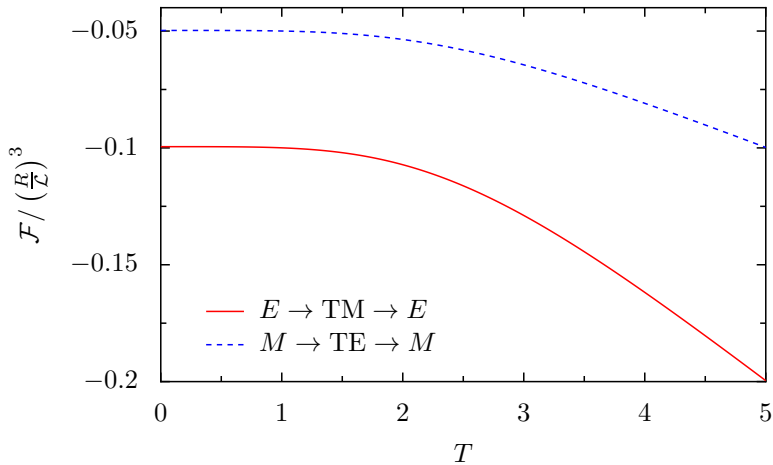
$$\ln \det \left(\mathbb{1} - \mathcal{M}^{(m)} \right) \approx - \sum_{P=E,M} \mathcal{M}_{1,1}^{(m)}(P, P)$$

\Rightarrow analytischer Ausdruck für Freie Energie

Näherung für große Abstände

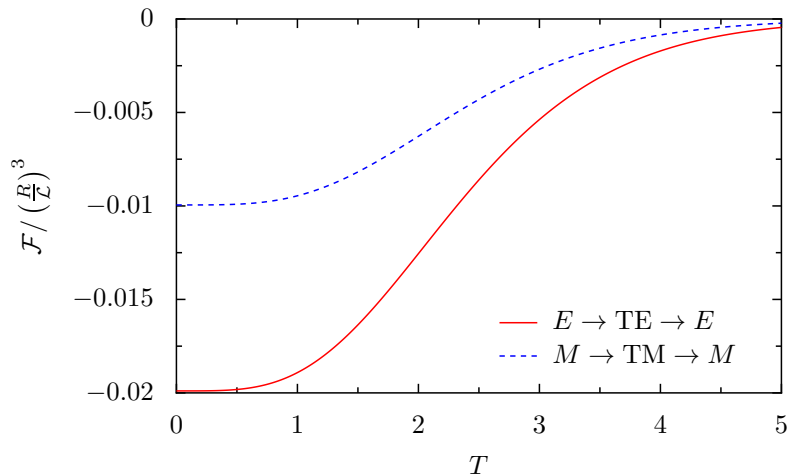


Näherung für große Abstände



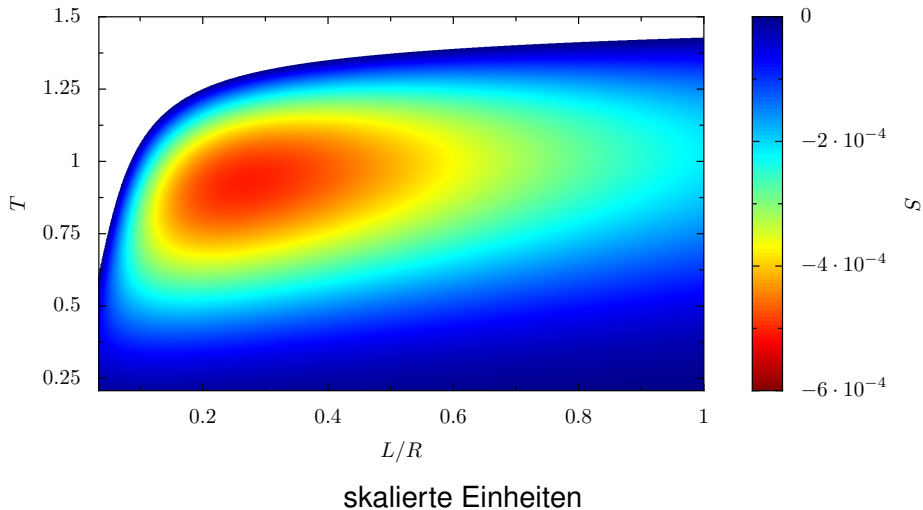
Freie Energie – kein Polarisationswechsel

Näherung für große Abstände



Freie Energie – Polarisationswechsel

Negative Casimir-Entropien



Zusammenfassung

- große Abstände
 - analytischer Ausdruck für Freie Energie
 - negative Entropien für $T \lesssim 1.5$
 - Ursache: Polarisationswechsel
- kleine Abstände
 - PFA gute Näherung
 - Entropien berechnet mit PFA sind positiv
- numerisch
 - Effekt negativer Entropien für große Abstände stärker
 - aber: Casimir-Effekt für große Abstände schwächer
 - Minimum der Entropie für $L/R \approx 0.27$ und $T \approx 0.93$
 - negative Entropien verschwinden (wahrscheinlich) für $L/R \rightarrow 0$

Vielen Dank für die
Aufmerksamkeit!